

## 研究简报

# 人白细胞介素-2 基因在人骨肉瘤细胞系内表达

郑 强 范清宇 殷剑宁 惠宏襄

(第四军医大学唐都医院, 西安 710038)

**摘要** 从 pHIG53 质粒内切下人白细胞介素-2 (IL-2) cDNA 基因, 并经中间质粒 pSP72 转换成与 pDOR-neo 载体相匹配的酶切位点, 然后将 IL-2 cDNA 定向连接入 pDOR-neo 载体, 构建成功人 IL-2 逆转录病毒载体, 经脂质体导入人骨肉瘤细胞系 Ma 中, 经 G418 筛选后测转基因肿瘤细胞培养上清中 IL-2 表达量, 每  $1 \times 10^5$  细胞 24 h IL-2 表达量为 50~800 U, 为骨肉瘤的基因治疗创造条件.

**关键词** 白细胞介素-2, 基因治疗, 逆转录病毒载体

白细胞介素-2 (interleukin-2, IL-2) 是 T 细胞及 T 细胞系分泌的一种多功能免疫活性调节因子, 动物实验及临床均表明全身或局部应用 IL-2 可产生抗肿瘤作用<sup>[1~5]</sup>. 但治疗量的 IL-2 浓度往往会产生严重的毒副作用, 因而限制了 IL-2 抗肿瘤活性的充分发挥. 转基因技术和逆转录病毒载体的产生为 IL-2 的临床应用带来了新希望. 我室将人 IL-2 cDNA 基因插入逆转录病毒载体 pDOR-neo 内, 构建了 IL-2 cDNA 真核表达载体, 并把 IL-2 cDNA 导入人源性骨肉瘤细胞系 Ma 中且获得表达.

## 1 材料和方法

### 1.1 主要试剂

pHIG53 质粒、pSP-72 质粒、pDOR-neo 载体和大肠杆菌 HB101 均由第四军医大学分子生物研究所惠赠; 人骨肉瘤细胞系 Ma 和 IL-2 依赖细胞系 CTLL, 由第四军医大学免疫教研室惠赠; G418 和 Lipfectin 均购自 GIBCO 公司; 蛋白酶 K 购自 Promega 公司.

### 1.2 人白细胞介素-2 逆转录病毒载体构建

**1.2.1 质粒提取和纯化**均参照文献 [6] 进行.

**1.2.2 IL-2 cDNA 制备:** 在灭菌 0.5 ml

Eppendorf 管内加入 pHIG53 质粒 5  $\mu$ g, Pvu II、Pst I 各 1  $\mu$ l,  $10 \times$  Pvu II 缓冲液 2  $\mu$ l, 灭菌三蒸水 16  $\mu$ l, 37 $^{\circ}$ C 水浴 1.5 h. 0.8% 凝胶电泳鉴定后电泳回收 IL-2 cDNA 片段. 因所切下 IL-2 cDNA 片段酶切位点与 pDOR-neo 载体的多克隆位点不匹配, 故首先将其连接入中间载体 pSP-72 转换成相匹配的酶切位点.

**1.2.3 连接:** 首先用 Pvu II、Pst I 双切并回收线性化的 pSP-72, 酶切回收条件均同上. 然后取 IL-2 cDNA 和线性化 pSP-72 等摩尔混匀后加 T4 连接酶缓冲液 1  $\mu$ l, 10 mmol/L ATP 1  $\mu$ l, 用灭菌三蒸水调整至 10  $\mu$ l, 混匀后加入 T4 连接酶 1 U, 15 $^{\circ}$ C 过夜.

**1.2.4 制备转化感受态细菌 HB101,** 转化感受态细胞均参照文献 [7] 进行.

**1.2.5 pSP-IL-2 载体的鉴定:** 随机挑选菌落, 接种于 10 ml 含 50 mg/L 氨苄青霉素的 LB 培养基中, 37 $^{\circ}$ C 振摇 8 h, 提取质粒后用 Pst I、Pvu II 重新酶切鉴定.

**1.2.6 pDOR-IL-2 逆转录病毒制备和鉴定:** 用 Xho I、BamH I 重新切下并回收 IL-2 cDNA 片段, 同时用 BamH I、Sal I 双切 pDOR-neo 载体, 回收大片段与上述 IL-2 基因

连接, 其中酶切、回收、连接和转化方法均同上. 为在转染细胞中鉴定 pDOR-IL-2 载体, 我们设计 IL-2 cDNA 的一对引物, 上游引物 P1: ATGTACAGGATGCAA; P2: TTAT-CAAGTTAGTGT. 在三个 0.5 ml Eppendorf 管内加入 pHIG53、pDOR-IL-2 及转染后细胞抽提的 DNA 各 0.1  $\mu$ g, 引物 1 和引物 2 各 30 pmol, 4  $\times$  dNTP 各 200  $\mu$ mol, 10  $\times$  Taq 聚合酶缓冲液 5  $\mu$ l, 灭菌三蒸水加至 50  $\mu$ l, 100 $^{\circ}$ C 水浴变性 5 min, 加入 Taq 酶 1.5 U, 反应体积为 50  $\mu$ l, 最后加入 30  $\mu$ l 液体石蜡, PCR 反应条件: 94 $^{\circ}$ C 40 s, 55 $^{\circ}$ C 50 s, 72 $^{\circ}$ C 1 min, 进行 35 个循环, 最后 72 $^{\circ}$ C 延伸 5 min, 1.5% 琼脂糖凝胶电泳鉴定.

### 1.3 细胞培养及基因转染

人骨肉瘤细胞系 Ma 37 $^{\circ}$ C、5% CO<sub>2</sub> 条件下培养于含 10% 小牛血清的 RPMI 1640 培养基中, 细胞生长至对数期时更换新鲜培养基, 12 h 后以 1  $\times$  10<sup>5</sup> ~ 2  $\times$  10<sup>5</sup>/ml 密度接种于 6 孔板, 培养 24 h. 将 2  $\mu$ g pDOR-IL-2、10  $\mu$ l 脂质体 (lipofectin) 分别溶于 100  $\mu$ l 无血清培养基, 两溶液缓慢混匀, 室温放置 15 min, 加入 1.8 ml 无血清培养基, 混匀后加入上述培养的细胞内, 培养于 37 $^{\circ}$ C、5% CO<sub>2</sub> 培养箱中, 6 h 后更换为 4 ml 含 20% 血清培养基, 继续培养 48 h 后, 用胰酶消化后以 1:5 接种于含 600 mg/L G418 的培养基内, 阳性者为 Ma/IL-2 细胞. 同法转染空载体 pDOR-neo 及未转基因的 Ma 细胞作为对照.

### 1.4 阳性克隆内 IL-2 cDNA 检测

分别收集 Ma 细胞、转染空载体的 Ma 细胞以及 Ma/IL-2 细胞, 按参考文献 [8] 分别提取三种细胞的 DNA. 各取 DNA 约 0.1  $\mu$ g, IL-2 cDNA 上、下游引物各 50 pmol, 94 $^{\circ}$ C 1 min, 55 $^{\circ}$ C 1 min, 72 $^{\circ}$ C 2 min, 共 30 循环, 最后 72 $^{\circ}$ C 延伸 5 min, 电泳鉴定.

### 1.5 IL-2 生物学活性的检测

用 IL-2 依赖细胞株 CTLL, MTT 法测定 IL-2 的生物学活性<sup>[9]</sup>.

## 2 结 果

### 2.1 IL-2 cDNA 和 pDOR-neo 载体的制备

pHIG53 经 Pst I、Pvu II 双切下约 0.9 kb 大小的基因片段, 包含有全部的 IL-2 cDNA 基因 (图 1). 经中间质粒 pSP-72 转换酶切位点后, 用 Xho I、BamH I 重新切下包含 IL-2 cDNA 的基因片段 (图 2). pDOR-neo 载体经 BamH I、Sal I 双切后, 0.80% 凝胶电泳显示

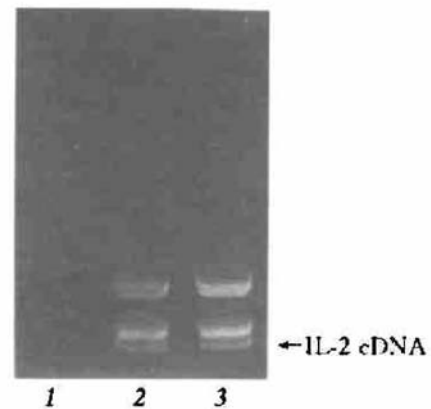


图 1 IL-2 cDNA 片段

1:  $\lambda$ DNA/Hind III 标准; 2 和 3: pHIG53/Pst I + Pvu II.

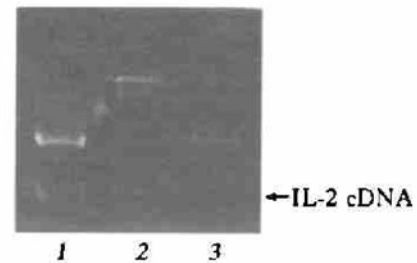


图 2 pSP-IL-2 的限制酶分析

1: pSP-IL-2/Xho I + BamH I; 2:  $\lambda$ DNA/Hind III 标准; 3: pSP-IL-2/Pst I + Pvu II.

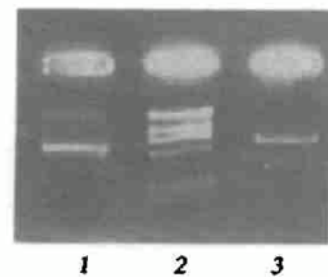


图 3 pDOR-neo 的限制酶分析

1: pDOR-neo; 2:  $\lambda$ DNA/Hind III 标准; 3: pDOR-neo/BamH I + Sal I.

其大小约为 6.5 kb (图 3), 符合 pDOR-neo 物理图谱.

## 2.2 pDOR-IL-2 载体鉴定

从转化感受态细菌中提取质粒, 分别扩增 pHIG53、pDOR-IL-2 质粒内的 IL-2 cDNA, 经 1.5% 凝胶电泳结果, 两质粒均扩出约 475 bp IL-2 cDNA, 符合设计大小, 证明已将 IL-2 cDNA 连接入 pDOR-IL-2 载体上 (图 4).

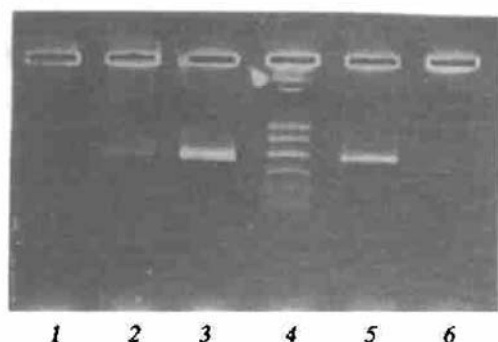


图 4 pDOR-IL-2 的鉴定

1: Ma; 2: pHIG53; 3: pDOR-IL-2;  
4: PCR 标准: 1000、750、500、300、  
150 和 50; 5: Ma/IL-2; 6: Ma/pDOR.

## 2.3 G418 选择转染成功的细胞克隆

600 mg/L G418 选择 3 d 后, 培养细胞中开始出现大量死亡细胞, 7 d 存活细胞基本稳定, 为表达 neo 基因的转染细胞. 此后见存活细胞生长, 逐渐形成“细胞岛”(图 5). 存活

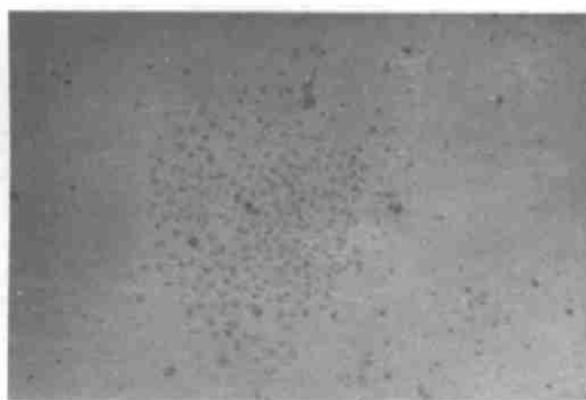


图 5 转基因后培养 7 天阳性细胞增殖形成“细胞岛”

细胞呈圆形, 多边形, 与转基因前的细胞形态相比稍增大, 且细胞增殖率稍有下降. 对照 Ma 细胞经 400 mg/L G418 选择培养 4 d 全部

死亡.

## 2.4 IL-2 基因的检测及其表达

分别用 IL-2 cDNA 引物扩增 Ma、Ma/IL-2 和 Ma/pDOR 细胞 DNA, 我们发现仅 Ma/IL-2 扩出阳性带, 其余两株细胞均未扩出 (图 4). 转基因后两周, 间隔 1 d 测定 Ma/IL-2 细胞培养上清中 IL-2 活性, 每 24 h  $10^5$  细胞分泌 IL-2 细胞为 50~800 U/ml, Ma 细胞及转染空载体的 Ma 细胞培养上清均测不到 IL-2 活性.

## 3 讨 论

1990 年 Rosenberg 等<sup>[10]</sup>把逆转录病毒载体转入人体细胞内, 进行了较长时间多项指标的观察, 证明逆转录病毒载体不但可把外源基因带人体细胞, 使之整合到染色体上并得到长时间表达, 而且是安全的, 这一研究使人类基因治疗成为可能. 目前在诸多的基因转染技术中, 逆转录病毒载体介导的基因转染是最常见、最有效的. 我室从 pHIG53 质粒内切下 IL-2 cDNA, 因酶切位点与 pDOR-neo 的多克隆位点不匹配, 故通过中间质粒 pSP-72 转换成与 pDOR-neo 相匹配的酶切位, 然后定向连接入 pDOR-neo 内, 通过 PCR 证实已将 IL-2 cDNA 装入逆转录病毒载体内, 构建成功真核表达载体, 并把 IL-2 cDNA 转染到人骨肉瘤细胞系 Ma 中, G418 选择阳性克隆, PCR 证实 Ma/IL-2 基因组中含有 IL-2 cDNA 片段. 转基因后阳性克隆培养上清中可测到 IL-2 活性, 表明人 IL-2 cDNA 已整合入人骨肉瘤细胞系 Ma 并获得表达.

IL-2 在肿瘤防治和研究中的作用日益受到重视, 全身或局部应用 IL-2 对多种肿瘤具有明显的治疗作用<sup>[1-5]</sup>, 但全身应用达有效剂量时, 常引起严重的毒副作用, 如毛细血管渗漏综合症; 局部应用时, 因其体内半衰期短, 需反复用药, 因而限制了 IL-2 的临床应用. 转基因技术为 IL-2 的应用开辟了新的途径, 把 IL-2 cDNA 转入体细胞内, 使在靶组织中持续分泌少量 IL-2 即可诱导明显的治疗

效果. 把 IL-2 cDNA 转入肿瘤细胞制成转基因瘤苗, 可诱导肿瘤特异性细胞毒 T 淋巴细胞的活性, 增强 NK、LAK 细胞活性、诱导细胞因子如 TNF、IFN 等的分泌, 从而产生抗肿瘤效应<sup>[4]</sup>. 上述作用尤其在清除术后残留癌细胞, 预防由其所引起的肿瘤复发、转移方面有重要临床应用价值.

骨肉瘤恶性程度高, 手术可切除局部绝大部分瘤细胞, 但对于残留的瘤细胞尚缺乏有效治疗手段. 转基因技术, 一方面可通过转入各种细胞因子, 通过增强机体免疫调节, 来杀伤残留细胞; 另一方面通过用转基因瘤细胞作为瘤苗来预防骨肉瘤术后复发. 我科调查骨肉瘤患者手术前后血清 IL-2 水平发现术后 IL-2 水平明显高于术前, 而且 IL-2 水平高者, 存活时间长 (待发表), 因此, IL-2 可作为骨肉瘤术后的辅助治疗手段. 我室把 IL-2 cDNA 转入人骨肉瘤细胞并获得表达, 目前正在进行高表达株筛选和转基因后瘤细胞生物活性变化研究, 并准备将 pDOR-IL-2 转染人外周淋巴细胞, 为骨肉瘤基因治疗创造条件.

### 参 考 文 献

- 1 Rosenberg S A, Lotze M T, Muul L M *et al.* *New Engl J Med*, 1987; **316**: 889
- 2 Rosenberg S A, Anderson W F, Blaese M *et al.* *Annals of Surgery*, 1993, **218** (4): 455
- 3 Foa R, Guarini A, Gansbacher B. *Br J Cancer*, 1992; **66**: 992
- 4 Rees R C, Writrout R H. *Immunol Today*, 1990; **11**: 36
- 5 Whiteside T L, Letessier E, Hirabayashi H *et al.* *Cancer Res*, 1993; **53**: 5654
- 6 Sambrook J, Fritsch E F, Maniatis T. 金冬雁等译, 分子

克隆实验指南, 第 2 版. 北京: 科学出版社, 1992: 19~23

- 7 Sambrook J, Fritsch E F, Maniatis T. 金冬雁等译, 分子克隆实验指南, 第 2 版. 北京: 科学出版社, 1992: 55~56
- 8 Sambrook J, Fritsch E F, Maniatis T. 金冬雁等译, 分子克隆实验指南, 第 2 版. 北京: 科学出版社, 1992: 464~465
- 9 杨贵贞, 宋 迅, 田志刚等, 免疫生物工程纲要与技术. 吉林: 吉林科学技术出版社, 1991: 47~48
- 10 Rosenberg S A, Aebersold P, Cornetta K *et al.* *New Engl J Med*, 1990; **323**: 570

**Expression of Human IL-2 cDNA in the Human Osteosarcoma Cell Line.** Zheng Qiang, Fan Qingyu, Yin Jianning, Hui Hongxiang (*Department of Orthopedics, Tang Du Hospital of the 4th Military Medical University, Xi'an 710038, China*).

**Abstract** The human IL-2 cDNA was cleaved from pHI53 and inserted in the intermediate vector pSP-72 which has the restriction sites compatible with clone site of the expression vector pDOR-neo, then IL-2 cDNA was directionally inserted into the retroviral vector pDOR-neo to construct a eukaryotic expression vector. The vector was transfected into human osteosarcoma cell line by lipofectin. The IL-2 was bioassayed in the culture of tumor cell after selection of G418. The production of IL-2 was 50~800 U per  $1 \times 10^5$  cells every 24 h, which makes it possible to carry out osteosarcoma gene therapy.

**Key words** interleukin-2, gene therapy, retroviral vector

## 人癌胚抗原单链抗体基因的构建和筛选

章美云 孔 健

(卫生部北京生物制品研究所, 北京 100024)

**摘要** 从分泌抗癌胚抗原 (carcinoembryonic antigen, CEA) 单抗的杂交瘤细胞株 C50 中提取总 RNA,